

(79) 大型鋼塊の凝固および偏析に関する研究 (III)

(主要3偏析成因の総合的説明)

Studies on the Solidification and Segregation of Larger Steel Ingots (III)
(An Unified and Systematic Interpretation for the Mechanism of Formation of the Three Major Segregations)

S. Onodera, et alius.

日本製鋼所室蘭製作所

工〇小野寺真作・理 荒木田 豊

I. 緒 言

大型鋼塊の三つの主要マクロ偏析、逆V偏析、V偏析および逆偏析の成因については、従来相互に独立に、個別的に説明されてきたが、凝固は鋼塊の外面から軸心部へと連続的に進むのであるから、これらの偏析の形成過程も相互に有機的関連の下に説明されねばならない。

第2報で筆者らは、凝固中の鋼塊軸心部のメルトの中で偏析の進行する過程を明らかにし、これによつて逆偏析の成因に関する新しい解釈を提唱したが、この報告では更に進んで逆偏析とV偏析との相互関係を論じ、これに逆V偏析を加えて、主要3偏析の成因を総合的に、統一的に説明することを試みた。

II. 偏析の物理的素因

偏析の物理的素因を列挙すれば

1. liquidus と solidus の関係位置による。固液界面における合金元素の濃縮。

2. 重力の影響

1) 重力場における熱力学的平衡への接近作用による合金元素の垂直方向移動。

ロ) 対 流

3. ludwig-soret effect.

4. メルトの中での結晶核の発生、成長、沈澱。

などである。この報告では1., 2. 1), および3. を主として考え、2. ロ) および4. は一応不間に附して進むこととする。

III. 垂直方向偏析作用と逆偏析およびV偏析

前報では、凝固しつつある鋼塊軸心部ではFig. 1(a)の如く偏析が進行し、従来鋼塊の軸心部について知られていた縦方向偏析は、各時刻におけるメルトの組成曲線の先端を連ねるものであることを述べた。

今、Fig. 1 (b) の如く凝固が底部AよりB迄進んだ時刻を考えると、固液界面には上向きにBCDの如き

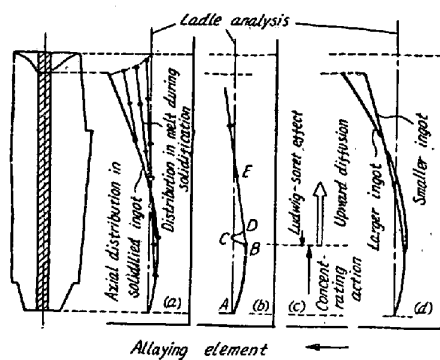


Fig. 1. Mechanism of vertical segregation.

濃縮作用がある筈であり、逆偏析の部分では、これが完全に上方へ拡散移動することによつて [Fig. 1(c)] この如き peak は現われずに A B D と滑かに進むが、メルトの中の濃度勾配 B D E がある値よりも大きくなると、上方への拡散移動は濃縮作用と釣合わなくなり、ついに所々に C の如き痕跡を残すことになる。

従つて V 偏析の下端は、合金元素の上方拡散移動速度と垂直方向凝固速度との関係によつて位置が異なることになる。周知の如く極めて大型の鋼塊では V 偏析の下端が押湯側へ移動するが、以上の解釈はこの事実と良く合致する [Fig. 1(d)]。

IV. 主要3偏析の総括的説明

逆V偏析は前述Ⅱの素因1を中心として説明されるから、これと前節とを組合せて見る。Fig. 2において

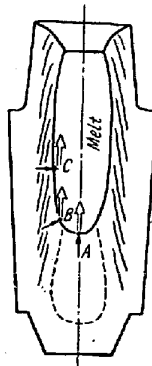


Fig. 2. Segregating procedure at liquid-solid interface.

A: 鋼塊軸心部, B: 逆V偏析の直ぐ内側の部分,

C: 逆V偏析部
とし、また

↑: 固液界面の濃縮作用から Ludwig-Soret effect を差引いたもの（等凝固面に垂直）

↑: 合金元素の上方拡散移動作用
とすれば、

1. A部: 前節の如く高さにより逆偏析またはV偏析を生ずる。

2. B部: 水平よりもやや上向きの凝固に上方への拡散移動を組合せると、凝固先端の濃縮痕跡は逆V偏析またはV偏析の如く明確にはならず、ある巾に散布される。

3. C部: 略々従来の説明の如くにして逆V偏析を生ずる。

かくして時刻 t_1 から t_2 へと凝固が進むと、Fig. 3

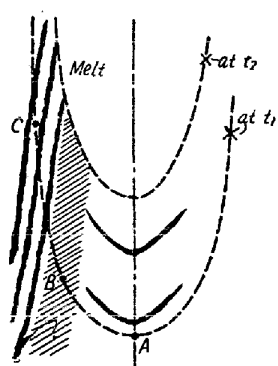


Fig. 3.

Segregations formed:
Time interval $t_1 - t_2$.

の如くに各偏析も逐次形成される。

V. 結 言

前報で述べた観察結果にもとづいて大型鋼塊の主要 3 偏析の成因を、凝固の進行に合せて総合的に説明することを試みた。

た A-2 型を製作使用した結果割れ疵は前 2 者に比較して激減した。

鋳型の設計は優良鋼塊製造上非常に大切なことであるが造塊作業における各種因子に影響されるため理論的な鋳型設計の基準となるものはなく主として過去の経験によつて行われている状態である。

本報告は A, A-1, A-2 鋳型の corner のささいな差異が縦割れ疵発生率を何故変化させたかを確め今後の鋳型設計の参考とするために dumping test を行い注入初期の鋼塊凝固状況を比較調査した結果をまとめたものである。

II. 縦割れ発生率と鋳型の形状

各所で使用されている mold 中 corner R の異なるもの 3 種を semi-killed 鋼 SS 材について注入順序, mold 別に 30 回の繰返し実験を行つた。この結果を Table 1 に示す。注入順序は 5% で有意, mold 間は 1% で高度に有意であつた。なお注入順序と mold との間には交互作用はない。[註] 分散分析に際しては元の data を $\sqrt{X+1}-2$ の変換を行い分布を正規に直して行つた。

以上の結果より C 型が最も良好であつたので C 型の corner R に近似の値を当所 mold A に取入れることにした。所で mold 製作上外側の形状をそのままとし内部だけを変更することは非常に簡単にできるので先づ A-1 型を試作し使用、ついで外側端部も一部改造した A-2 型を作つた。この形状比較を Fig. 1 に示す。これ等 3 種の鋳型を前例の様にして調査した結果は Table 2 の如くである。なおこの実験迄に各種解析を行いその中で特に大きかつた鋼中 S について 2 つに層別して検討した。A に比較し A-1 型は殆ど差異なく疵点数はやゝ減

(80) 鋳型形状が鋼塊の隅角割れ疵におよぼす影響

The Effect of Mold Design on the Corner Crack in Ingot

S. Ogawa, et alii.

富士製鐵 瀧石製鐵所 工成 広清 士
工武 林英夫
工〇 小川清一郎
工戸 田陽一

I. 緒 言

従来当所で使用している A 鋳型(下広 6t 型)は鋼塊の隅角に縦割れが発生しやすくこれが圧延された鋼片にも欠陥を残すので、この疵を防止するため鋳型の設計変更を行う目的で当所の A 型に類似の鋳型を比較試験しこの中で最も良好な成績をあげた C 型に近似の corner R をもつて A 型を改造し A-1 をつくつて使用したがこれは縦割れ疵の減少とならずかえつて小さい割れ疵が増加した。さらに A-1 型の corner 部分の肉厚を厚くし

Table 1. Evaluation of corner crack and its statistical analysis.

Ingot mold	Corner R mm		Evaluation of corner crack			Factor	S.S.	ϕ	V	F_0	$F_{0.05}$	$F_{0.01}$
	Top	Bottom	Mean	Upper limit	Lower limit							
A	70	110	5.81	7.24	4.52	Pouring order	16.0	8	2.00	2.25*	1.98	
B	50	85	2.03	3.00	1.19	mold	83.5	2	41.75	46.91**	3.04	4.71
C	55	65	0.69	1.43	0.08	Interaction Between-class (Variation)	5.3	16	0.33	0.37	1.69	
Pouring order	1	2	3	4	5	6	7	8	9			
Mean	3.28	4.15	3.54	3.12	2.24	2.50	1.89	1.54	1.56			
Upper limit	5.35	6.40	5.66	5.15	4.06	4.38	3.62	3.24	3.20			
Lower limit	1.62	2.31	1.81	1.49	0.85	1.01	0.64	0.35	0.32			
Total							321.9	269				